

К РАСКРЫТИЮ ГЕОМЕТРИЧЕСКИХ ТАЙН ВЕЛИКИХ ПИРАМИД

Описанию геометрии Великих Пирамид и различным предположениям об их предназначении посвящено большое количество популярных работ. Однако с математической точки зрения в этих работах не было проведено главного - детального анализа геометрии пирамид.

В настоящей работе сообщается о раскрытии ряда геометрических тайн Пирамиды Хеопса. В статье впервые найдены не только замечательные геометрические соотношения, но и соответствующие им экстремумы геометрических величин, выражающиеся через фундаментальные математические константы системной гармонии $\phi = (-1 + \sqrt{5}) / 2 \approx 0,618\ 034$ и $\varphi = (1 + \sqrt{5}) / 2 = 1 + \phi = 1 / \phi \approx 1,618\ 034$.

При этом в данном случае под системой *в первом приближении* понимается исходная правильная 4-х угольная пирамида с вписанными в неё сферой и полусферой, в которую, в свою очередь, вписана пирамида с углом наклона боковой грани к основанию $\alpha_1 = \arctg \sqrt{\phi}$, связанным с соответствующим углом исходной пирамиды $\alpha = \arctg \sqrt{\varphi}$ соотношением $\alpha + \alpha_1 = \pi / 2$. При этом сумма радиусов сферы $r_S = k \cdot \phi^{3/2}$ и полусферы $r_{SS} = k \cdot \phi^{1/2}$ оказывается равной высоте пирамиды $h = k \cdot \sqrt{\varphi}$ (k - множитель, зависящий от выбора единицы измерения длины), а разность радиусов $r_{SS} - r_S$ имеет экстремум – максимум именно при значении $h = k \cdot \sqrt{\varphi}$.

Итак, приступим к рассмотрению геометрических соотношений в правильной 4-х угольной пирамиде $SABCD$, показанной на рис.1 Как было установлено в результате проведённых измерений, угол наклона грани Пирамиды Хеопса к её основанию $\alpha_{exp} \approx 51,83^\circ$. Поскольку этот угол весьма

близок к углу $\alpha = \arctg\sqrt{\varphi} \approx 51,827292^\circ$, будем считать, что строители пирамиды стремились получить именно угол $\alpha = \arctg\sqrt{\varphi}$.

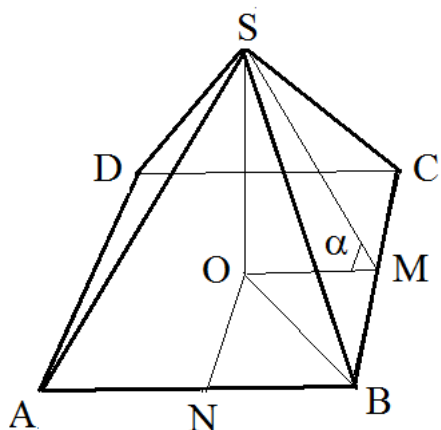


Рис. 1

$$AB = BC = CD = DA = a = 2$$

$$OM = ON = a/2 = 1$$

$$SA = SB = SC = SD = q$$

$$SO = h = \varphi^{1/2}$$

Пусть высота пирамиды $SO = h$, длина стороны квадрата в основании пирамиды $AB = 2a$, тогда $\operatorname{tg}\alpha = h / (a / 2)$. Проводившие измерения исследователи пирамиды полагают, что её исходные размеры составляли $a \approx 230,3$ м, $h \approx 146,6$ м, длина ребра $q \approx 225$ м.

Для упрощения вычислений будем считать, что единица длины такова, что $a = 2$. Тогда h будет равняться $\sqrt{\varphi}$ (коэффициент $k = 1$), а апофема $m = SM = \varphi$. Отсюда вытекают два соотношения, лежащих в основе геометрии Пирамиды Хеопса. 1. Площадь квадрата со стороной, равной высоте пирамиды, равна площади боковой грани пирамиды, численно равной φ . 2. Отношение площади боковой поверхности пирамиды к площади её основания равно φ :

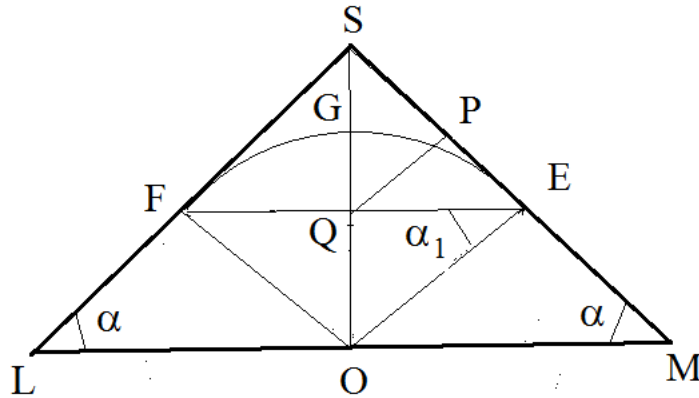
$$h^2 = m \cdot a / 2 = \varphi, \quad 4\varphi / a^2 = \varphi \quad (1)$$

В ходе детального анализа геометрии пирамид было выявлено много интересных соотношений, однако, в данной статье основное внимание будет уделено только таким соотношениям, для которых были найдены экстремумы геометрических величин при значениях параметров $h = \sqrt{\varphi}$ и $\alpha = \arctg(\sqrt{\varphi})$. Такие соотношения были обнаружены, прежде всего, для

радиусов различных сфер вписанных в пирамиду.

Зависимости радиуса сферы $r_S = QO = QP$ (S – Sphere), вписанной в пирамиду (см. рис.2) , определяются соотношениями:

$$r_S = (a/2) \cdot \operatorname{tg}(\alpha/2) = (a/2) \cdot [\sqrt{h^2 + (a/2)^2} - a/2] / h \quad (2)$$



$$OQ = QP = r_S = h_1$$

$$OE = OF = OG = r_{SS}$$

Рис. 2

Зависимости же радиуса полусферы r_{SS} (SS - SemiSphere), вписанной в пирамиду (см. рис. 2) так, что плоскость проходящая через центр полусферы совпадает с плоскостью, в которой лежит основание пирамиды имеют вид:

$$r_{SS} = (a/2) \sin \alpha = (a/2) \cdot h / \sqrt{h^2 + (a/2)^2} \quad (3)$$

Радиусы $r_S(h)$ и $r_{SS}(h)$ монотонно растут с ростом h , однако, трудно предсказуемым является, во-первых, то, что разность радиусов $\Delta r(h) = r_{SS}(h) - r_S(h)$ (см. рис. 3) имеет экстремум – максимум именно при $h = \sqrt{\varphi}$ (!!).

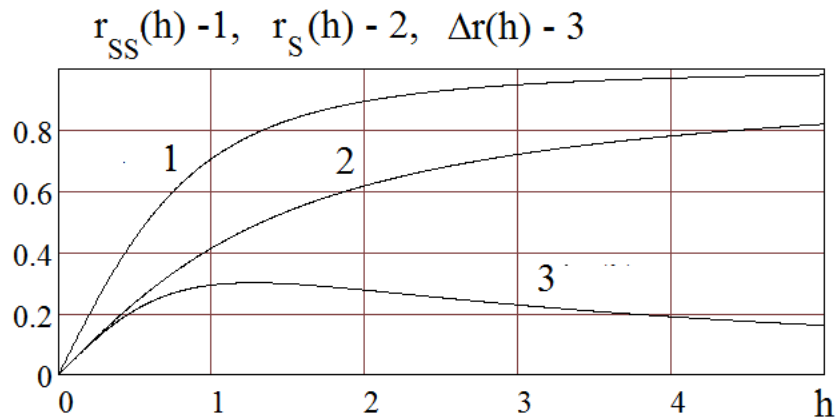


Рис. 3

При этом выполняются следующие замечательные соотношения:

$$r_{SS}(\sqrt{\phi}) = \phi^{1/2}, \quad r_S(\sqrt{\phi}) = \phi^{3/2}, \quad r_{SS}(\sqrt{\phi}) + r_S(\sqrt{\phi}) = \phi^{1/2} + \phi^{3/2} = \sqrt{\phi} = h \quad (4)$$

Наличие найденного экстремума характерно лишь для пирамиды данных размеров, а также для подобных ей пирамид. Напр., этот экстремум будет выполняться при уменьшении размеров пирамиды в ϕ раз при $h = \sqrt{\phi}$, $a = \phi$, $m = 1$, а также для подобной пирамиды вписанной в сферу, вписанную в исходную пирамиду, при этом размеры новой пирамиды будут меньше размеров исходной пирамиды в $R(h) / r_S(h)$ раз, где $R(h)$ - радиус описанной сферы:

$$R(h) = (h^2 + a^2 / 2) / 2h = a(3 + \cos 2\alpha) / 4 \sin 2\alpha \quad (5),$$

при $a = 2$ $R(\sqrt{\phi}) / r_S(\sqrt{\phi}) = (3\phi + 1) / 2$.

Впишем теперь в полусферу радиуса r_{SS} пирамиду так, что её вершина будет в точке O (см. рис. 2), а вершины основания E, F и др. будут совпадать с точками касания полусферы с боковыми гранями исходной пирамиды. Эта пирамида будет инвертирована и повернута относительно исходной пирамиды (по вертикальной оси) на угол $\pi / 4$. Её высота h_1 и сторона основания a_1 определяются следующими соотношениями:

$$h_1 = a^2 h / 4(h^2 + a^2 / 4), \quad a_1 = ah^2 / (h^2 + a^2 / 4) \quad (6)$$

При $a = 2$ и $h = \sqrt{\phi}$ получим: $h_1 = \phi^{3/2}$, $a_1 = \phi$, отсюда следует, что у новой пирамиды угол наклона боковой грани к плоскости основания α_1 равен

$$\alpha_1 = \arctg(2h_1 / a_1) = \arctg(\sqrt{\phi}) = \pi / 2 - \alpha \quad (7),$$

поскольку $\arctg \sqrt{\phi} + \arctg \sqrt{\phi} = \pi / 2$. В связи с этим отметим то, что при замене значений высоты и основания ($h_1 \leftrightarrow a_1$) новая пирамида становится подобной исходной пирамиде. Так, полагая $a = 2\phi^{3/2}$ получим, что максимум разности $\Delta r(h) = r_{SS}(h) - r_S(h)$ реализуется именно при $h = \phi$, а сумма радиусов равняется высоте пирамиды: $r_{SS}(h) + r_S(h) = \phi^2 + \phi^3 = \phi$!

Интересно также то, что при $h = \sqrt{\phi}$ площадь треугольника OEF (см. рис. 2) равна площади треугольника основание которого равна a , а высота - длине сегмента QG, равной $(r_{SS} - h_1)$:

$$a_1 h_1 / 2 = \phi^{5/2} = a(r_{SS} - h_1) / 2 \quad (8)$$

Наконец, при $h = \sqrt{\phi}$ имеет место экстремум - минимум модуля разности $|h_1(h) - r_S(h)|$ (см. рис. 4)

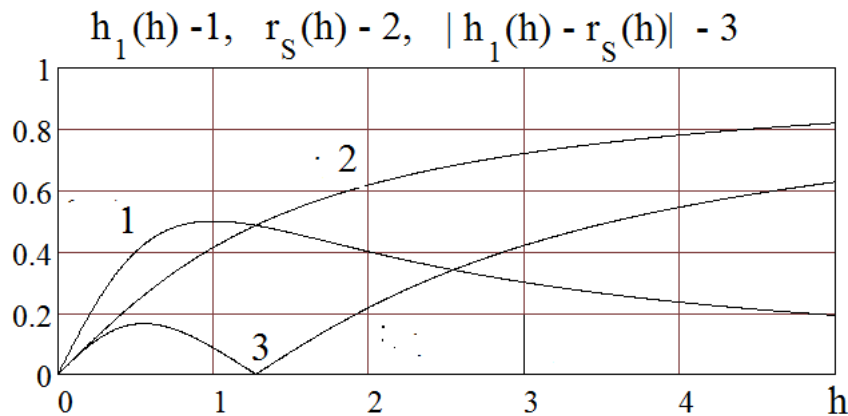


Рис. 4

Разность же функций $h_1(h) - r_S(h)$ имеет экстремум - максимум при $h \approx 0,551 \approx \sqrt[3]{\sqrt{\phi} - \phi} \approx (\sqrt{3}/4) \cdot \sqrt{\phi} \neq \sqrt{\phi}$. Этот экстремум, как и ряд других экстремумов при $h \neq \sqrt{\phi}$, не определяет гармонию данной системы в целом. Отметим, что $h \approx 0,551$ является корнем уравнения $4h^6 + 3h^4 + 2h^2 - 1 = 0$.

Рассмотрим теперь под каким углом к плоскости основания β могли бы направить проектировщики пирамиды восходящую лестницу. Во-первых, они могли бы направить её из точки M в точку Q (см. рис. 2). В этом случае выполнялись бы следующие примечательные соотношения для угла β и длины лестницы L:

$$\beta = \arctg \phi^{3/2} = \arctg(\sqrt{\phi} - \text{arc}\sqrt{\phi}) = (\arctg \sqrt{\phi}) / 2 \approx 25,913646^\circ, \quad L = \sqrt{2\phi} \quad (9)$$

Однако, поскольку измерения показывают, что $\beta_{\text{exp}} \approx 26,5^\circ$, можно предположить, что был выбран другой вариант, в частности, потому, что он более изящен с математической точки зрения. В нём лестница направляется

из точки M в точку, лежащую на высоте пирамиды и отстоящую от основания на расстоянии $1/2 = a/4$. В этом случае угол β и длина лестницы L равны:

$$\beta = \arctg(1/2) = \arctg(\varphi) - \arctg(\phi) \approx 26,565\ 051^\circ, \quad L = \sqrt{5}/2 = (\phi + \varphi)/2 \quad (10)$$

Важной особенностью правильной 4-х угольной пирамиды с углом наклона боковой грани к основанию $\alpha = \arctg\sqrt{\varphi}$ является то, что произвольная фигура, будучи спроецированной с любой боковой грани вначале на основание, а затем на соседнюю боковую грань в итоге даст фигуру, подобную исходной с коэффициентом подобия ϕ . Действительно, при проецировании размеры фигуры вдоль одной из осей уменьшатся с коэффициентом $k = \cos\alpha = \cos(\arctg\sqrt{\varphi}) = \phi$. При проецировании же с основания на соседнюю боковую грань размеры фигуры уменьшатся в перпендикулярном направлении с тем же коэффициентом $k = \cos\alpha = \phi$. Чтобы убедиться в этом плоскости боковых граней следует повернуть к плоскости основания относительно соседних сторон основания, напр., AB и AD . При этом апофемы SM и SN зададут ортогональные направления, вдоль которых происходит изменение размеров проектируемой фигуры.

В этой связи отметим также то, что двугранный угол δ между боковыми гранями правильной n -угольной пирамиды с углом наклона боковых граней к основанию α равен:

$$\cos(\delta/2) = \sin\alpha \cdot \sin(\pi/n) \quad (11)$$

Для 4-х угольной пирамиды с $n=4$ и $\alpha = \arctg\sqrt{\varphi}$ получим: $\sin\alpha = \sqrt{\phi}$ и $\cos(\delta/2) = \sqrt{\phi/2}$, $\delta = \arccos(-\phi^2) \approx 112,455^\circ$.

Таким образом, в данной работе установлена ключевая роль констант системной гармонии ϕ, φ в обнаруженных замечательных геометрических соотношениях, определяющих геометрию Пирамиды Хеопса.

В связи с установлением особой роли констант ϕ, φ в самых разных областях знаний укажем, что в работах автора данной статьи [1.2] введено

новое истолкование констант ϕ, φ , как инвариантных отношений при движении точки вдоль определённых окружностей инвариантных отношений. В [3,4] установлена связь констант ϕ, φ с функциями средних значений. В [5-8] найдены электростатические модели инвариантных отношений и произведений в виде длинных параллельных и, соответственно, противоположно- или одноимённо-заряженных тел. При этом найденные соотношения гармонии, выражающиеся через константы ϕ, φ , имеют место при движении точек вдоль различных эквипотенциальных линий: окружностей – для инвариантных отношений или овалов Кассини (в особом частном случае, вдоль лемнискаты Бернулли) – для инвариантных произведений.

Литература

1. Шелаев А.Н. Соотношения гармонии и экстремумы длин, площадей и их производных в обобщённой модели золотого сечения. Актуальные проблемы современной науки, 2010, № 6, - С.162-164.

2. Шелаев А.Н. Обобщённая геометрическая модель золотых сечений и соответствующие ей характерные экстремумы длин, площадей и их производных. М., Эл. № 77-6567, публ. 17431, 29.04.2012. www.trinitas.ru/rus/doc/0232/009a/1252-shl.pdf

3. Шелаев А.Н. Соотношения гармонии в обобщённой геометрической модели золотых сечений и функций средних значений. Актуальные проблемы современной науки, 2011, № 1, - С.118-120.

4. Шелаев А.Н. Обобщённая геометрическая модель золотых сечений и функций средних значений. М., Эл. № 77-6567, публ. 17485, 28.05.2012. www.trinitas.ru/doc/0232/009a/1252-shl.pdf

5. Шелаев А.Н. Соотношения гармонии для электростатической модели обобщённых золотых сечений – длинных параллельных противоположно-заряженных тел. Актуальные проблемы современной науки, 2011, № 2, - С.131-134.

6. *Шелаев А.Н.* Электростатическая модель золотых сечений и функций средних значений. М., Эл. № 77-6567, публ. 17511, 08.06.2012. www.trinitas.ru/doc/0232/009a/1252-shl.pdf

7. *Шелаев А.Н.* Соотношения гармонии для электростатической модели обобщённых золотых произведений – длинных параллельных одноимённо-заряженных тел. Актуальные проблемы современной науки, 2011, № 4, -С.95-98

8. *Шелаев А.Н.* Электростатические и гравитационные модели инвариантных соотношений.М.. Эл № 77-6567, публ.17609, 06.08.2012. . www.trinitas.ru/doc/0232/009a/1252-shl.pdf.